異種部材を接合した柱-梁隅角構造に関する研究

早稲田大学 学生会員 〇久原 岳,桜井 淳,フェロー会員 依田 照彦 前橋工科大学 正会員 谷口 望

鉄道総合研究所 正会員 斉藤雅充,上村 寿志 三菱重工鉄鋼エンジニアリング 正会員 北川 潤一た PC 鋼棒周りにもモルタルを充填した。載荷方法は,アクチュエーターの変位を δ としてPC鋼棒の降伏時(ϵ = $\pm 2300 \, \mu$)の変位を $1 \, \delta$ y と定め,引張・圧縮の載荷を各 δ y を3回ずつ行う.載荷は部材が破壊するまで続ける.

1. 研究背景

鉄道構造物の標準的な構造としてRCラーメン橋が建設されているが、その多くは建設後数十年経過しており耐久性や耐震性の観点から大規模な改修が必要である。また近年は駅施設の機能や利便性向上の観点から、既設高架下空間の有効活用も求められている。これらのことから構造物の性能向上と空間創造を両立させた高架橋のリニューアル技術の開発が望まれている。

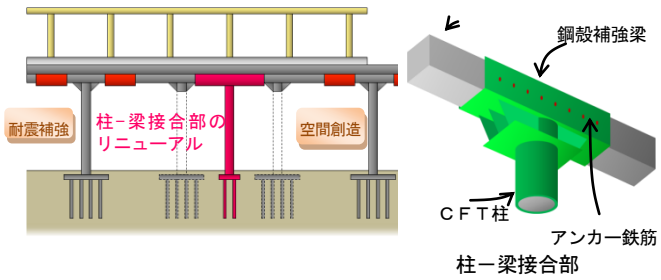


図 1.1 リニューアル工法のイメージ

期待されるリニューアルの方法として、老朽化したR Cラーメン高架橋の補修に、軽量・高靱性の複合構造物を活用することが考えられる. 具体的には、CFT(コンクリートフィルドチューブ)の新設・既設RC柱鋼板巻き・増し桁・増し杭などによる、空間創造・耐震性向上・劣化部材の補修である. これらを実現するために部材の構造詳細や設計手法の確立が期待されている.

本研究では、実証実験による接合部の耐荷力の検証と、実験を再現した構造解析を通して、リニューアル構造の検討を行い、技術開発のための有益な情報を得ることを目的としている.

2. 実験方法

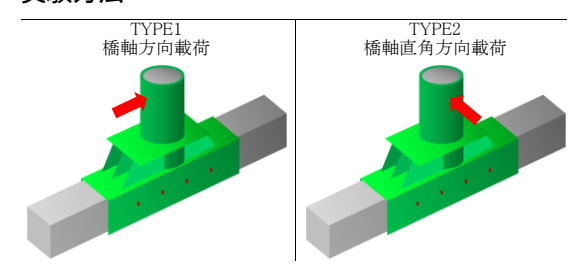


図 2.1 実験供試体(矢印で示す方向に載荷) 実験供試体は載荷方向別に用意する. 橋軸方向お よび橋軸直角方向の2つとする. RC 梁と鋼板の間には モルタルを充填し、PC鋼棒を用いて接合してある。ま

3. 解析方法

解析では、有限要素法の汎用ソフト DIANA³⁾を用いて 実験供試体と同等のモデルを作成し、非線形解析を行った.なお、モデルの自重は考慮せずに上下逆転さ せて解析を実行した。コンクリート、モルタル及び P C鋼棒をソリッド要素とし、鋼材はシェル要素と した。そして鋼材とモルタルの付着部には界面要素 を使用した.

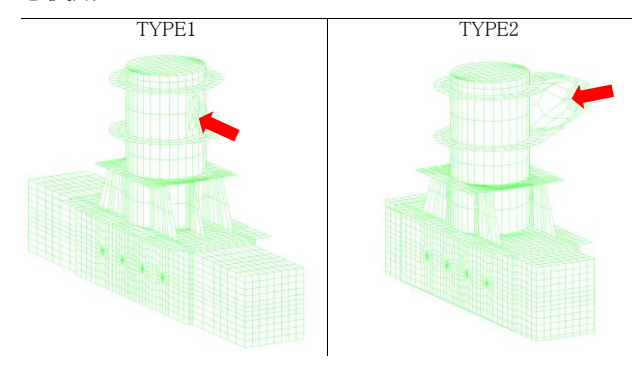


図 3.1 解析モデル(矢印で示す方向に載荷) 以下に材料定数および材料強度を示す.

表 3.1 材料定数

	密度(kg/mm³)	ポアソン比
コンクリート	2.29 × 10 ⁻⁹	0.224
モルタル	2.20 × 10 ⁻⁹	0.224
モルタル(PC鋼棒接合部付近)	2.20 × 10 ⁻⁹	0.224
鋼	7.85 × 10 ⁻⁹	0.300
PC鋼棒	7.85 × 10 ⁻⁹	0.300

表 3.2 材料強度

	静彈性係数(kN/mm²)	圧縮強度(N/mm²)	引張強度(N/mm²)
コンクリート	22.4	33.4	2.39
モルタル	27.0	74.5	4.07
モルタル(PC鋼棒接合部付近)	27.0	40	2.69
静弹性係数(kN/mm²)解伏応力(N/mm²)引張強度(N/mm²)			
鋼	200	242.5	390.6
PC個棒	174	12206	1273.9

解析における載荷では交番載荷は行わず、図 3.1 に 示した方向にのみ載荷し、破壊に至るまで計算を実行 した.

キーワード 接合構造,空間創造,合成梁,CFT柱 連絡先 〒169-8555 東京都新宿区大久保 3-4-1 早稲田大学社会環境工学科 依田研究室 TEL03-5286-3399

4. 実験結果

柱-梁供試体の荷重-変位曲線を以下に示す.

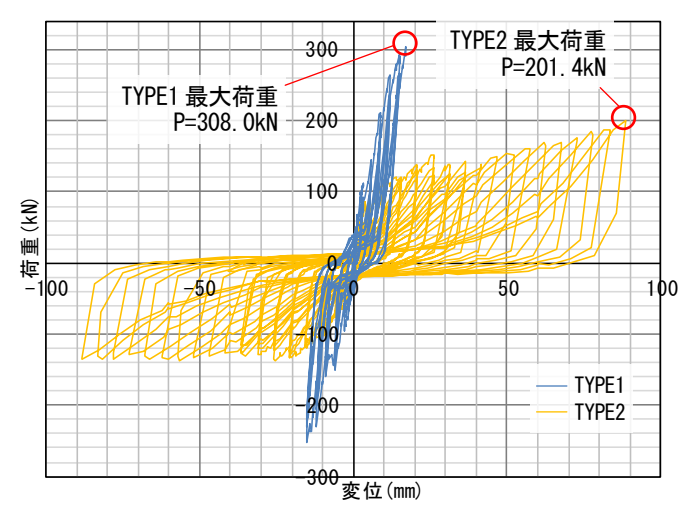


図 4.1 荷重変位-曲線

TYPE1 (橋軸方向載荷)は、最大荷重 308.0kN でPC 鋼棒3本が同時に破断し、荷重を伝えなくなったため、 載荷を終了した.

TYPE2(橋軸直角方向載荷)は、変位を増加させて いくと、供試体の梁底面を軸にして回転してしまい、側 面の鋼板が固定冶具に接触したため、載荷を中止した. 最後まで荷重は落ちずに増加し、このときの最大荷重 は 201.4kN であった.

5. 解析結果

柱-梁解析モデルの解析値を実験値と合わせて以 下に示す.

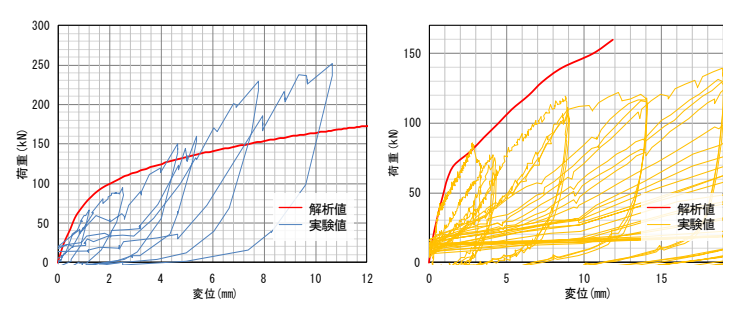


図 5.1 荷重-変位曲線の比較 (左:TYPE1, 右:TYPE2)

PC 鋼棒のひずみを以下に示す.

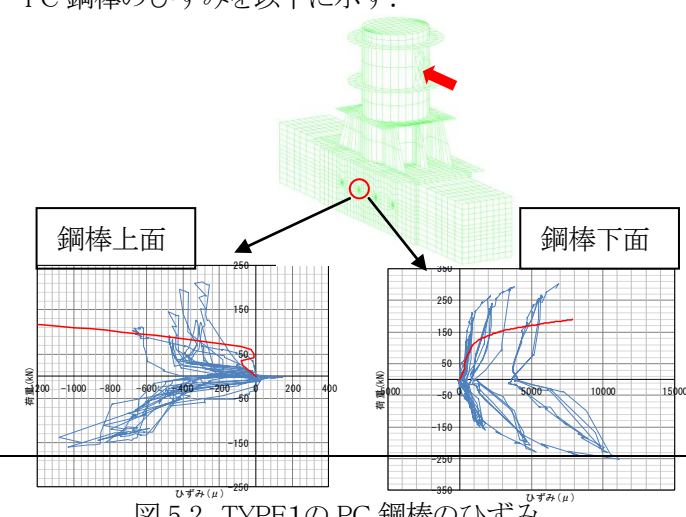


図 5.2 TYPE1の PC 鋼棒のひずみ

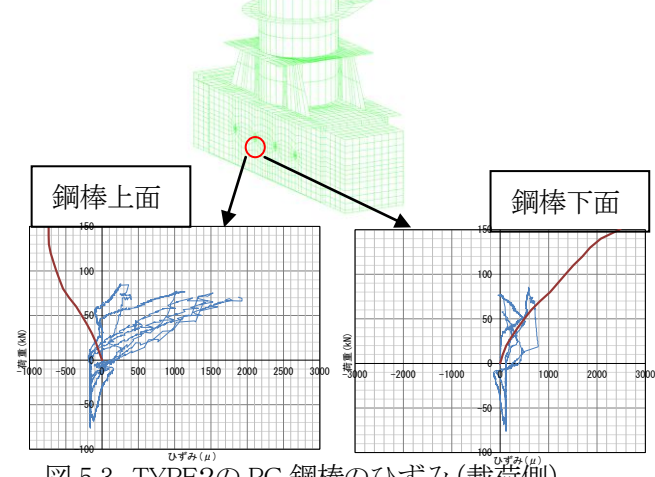


図 5.3 TYPE2の PC 鋼棒のひずみ(載荷側)

図 5.1 より荷重が増すにつれて、橋軸方向に載荷し た TYPE1は実験値と比べて解析値の荷重があまり伸 びずに 150kN 前後で横ばいになる傾向を示した. 一方, 橋軸直角方向に載荷したTYPE2は実験値の荷重よりも 大きな荷重を解析で示した.しかし,両モデルとも 50kN あたりまでの初期剛性に関しては、解析値は実験値と 概ね近い値をとったといえる.

図5.2より橋軸方向載荷の供試体の解析値は実験値 に比べて、比較的大きなひずみとなっている. 解析値 に関しては、圧縮側のひずみが概ね実験結果と近い値 を示しているのに対して、引張側のひずみは実験値よ りも大きな値であり、実験より低い荷重で降伏している。 一方で橋軸直角方向載荷の供試体は図5.3より実験値 に近いものと近くないものにばらついた結果となった.

6. 考察

TYPE1, TYPE2ともに荷重-変位曲線において初 期剛性は近い値をとっており,実験結果を解析によっ て再現できているといえる.しかし,変位が増加し,部 材が塑性化してからの挙動については実験値との差が 大きい. また. PC 鋼棒のひずみについても同様で実験 値と解析値で近い傾向を示すものもあればそうでない ものも含まれた. これらについては実験における圧縮と 引張の交番載荷や, それに伴う供試体の変形や疲労 現象を解析では再現できていないことが原因であると 考えられる.

参考文献

- 1) 土木学会コンクリート委員会:コンクリート標準示方書 [構造性能照査編], 土木学会, 2002 年3 月
- 2) 鷲津久一郎, 宮本博, 山田嘉昭, 山本善之, 川井忠彦: 有 限要素法ハンドブック, 培風館, 1981 年9 月
- 3) JIP テクノサイエンス: DIANA9 ユーザーマニュアル日本 語参考資料<材料ライブラリー>, 2005 年9 月
- 4)JIP テクノサイエンス: DIANA9 ユーザーマニュアル日本 語参考資料<解析手法>, 2005 年9 月